

بررسی اثر و نحوه تقویت ناشی از ضوابط کنترل تغییرمکان در رفتار غیرخطی لرزه‌یی قاب‌های فولادی لاغر

مهندسانی عمران شرف، (زمین‌ساز) ۱۳۹۳/۰۵/۲۰، شماره ۳، دوری ۲

مجید محمدی* (استادیار)

پژوهشگاه بین‌المللی زلزله‌شناسی و مهندسی زلزله

سیده سهیله میرکاظمی (کارشناس ارشد)

دانشکده‌ی مهندسی عمران، دانشگاه غیرانتفاعی صدرا-المتأهله

براساس استاندارد ۲۸۰۰، برای بررسی ضوابط کنترل دریفت طبقات می‌توان از برش پایه‌یی استفاده کرد که بر پایه زمان تناوب حاصل از فرمول‌های تجربی پیشنهادی این استاندارد یا مدل‌های تحلیلی باشد. در این تحقیق نشان داده است که برای یک ساختمان پنج طبقه دارای قاب خشمی استفاده از زمان تناوب تحلیلی به سازه با وزن کمتر و رفتار لرزه‌یی بهتر منجر می‌شود. در ادامه راهکاری ساده برای یافتن اعصابی که با تقویت آنها سازه می‌تواند محدودیت‌های کنترل تغییرمکان را ارضاء نماید پیشنهاد و با تحلیل IDA نشان داده شد که سازه حاصل از این روش در مقایسه با روشی که در برخی دفاتر مهندسی به کار گرفته و در آن تنها سنتون‌های طبقات نخست ساختمان تقویت می‌شوند، دارای رفتار لرزه‌یی بهتر می‌باشد.

m.mohammadigh@jies.ac.ir
samane_mirkazemi@yahoo.com

وازگان کلیدی: تحلیل تاریخچه‌ی زمانی غیرخطی، سازه‌ی فولادی، سازه‌ی بلند، کنترل جابجایی.

۱. مقدمه

راه کلی طراحی ساختمان این است که ابتدا سازه برای بارها تحلیل و طراحی و سپس ضوابط کنترل دریفت روی سازه بررسی شود و در صورت عدم جوابگویی این ضوابط در برخی طبقات سازه، المان‌های آن طبقه برای برآوردن ضوابط کنترل تغییرمکان تقویت می‌شود. در استاندارد ۲۸۰۰ ایران،^[۱] برای کنترل تغییرمکان جانبی سازه دو راه وجود دارد.

الف) راه اول:

براساس بند ۳-۵-۲ آین نامه: تغییرمکان جانبی نسبی واقعی طرح در محل مرکز جرم هر طبقه نباید از این مقدار بیشتر شود:^[۱]

-- برای ساختمان‌های با زمان تناوب اصلی کمتر از ۷ ثانیه:

$$\Delta_M \leq ۲۵^{\circ} \text{ برابر ارتفاع طبقه}$$

-- برای ساختمان‌های با زمان تناوب اصلی بیشتر یا مساوی ۷ ثانیه:

$$\Delta_M \leq ۲۰^{\circ} \text{ برابر ارتفاع طبقه}$$

که در آن، Δ_M تغییرمکان جانبی نسبی واقعی طرح در طبقه با منظور کردن اثر $P - \Delta$ است.^[۱]

ب) راه دوم:

طبقه‌بهره‌ی بند ۴-۵-۲ آین نامه‌ی ۲۸۰۰ زلزله،^[۱] در محاسبه‌ی تغییرمکان نسبی هر طبقه (Δ_W)، برای رعایت محدودیت‌های فوق، مقدار برش پایه را می‌توان بدون منظور کردن محدودیت‌های مربوط به زمان تناوب اصلی ساختمان (T) در تبصره‌ی ۱ بند ۶-۳-۲ تعیین کرد. طبق این تبصره می‌توان از زمان تناوب محاسباتی استفاده کرد.

$$\Delta_M = ۰,۷ R \Delta_W \quad (1)$$

که در آن، M تغییرمکان جانبی نسبی واقعی طرح در طبقه R ضریب رفتار است. W تغییرمکان جانبی نسبی طرح در طبقه است که برای محاسبه آن از برش پایه مبتنی بر زمان تناوب حاصل از فرمول‌های تجربی موجود در استاندارد است.

* نویسنده مسئول

تاریخ: دریافت ۱۰/۸/۱۳۹۱، اصلاحیه ۳/۵، ۱۳۹۲/۴/۴. پذیرش ۱۳۹۲/۴/۴.

جدول ۱. سازه‌های مورد بررسی در این پژوهش.

سازه‌های مورد بررسی					
یک و دو دهانه ۵ طبقه	دو دهانه ۶ طبقه	دو دهانه ۷ طبقه	دو دهانه ۸ طبقه	دو دهانه ۹ طبقه	دو دهانه ۱۰ طبقه
قاب خمثی فولادی متوسط					
قاب خمثی فولادی ویژه					

جدول ۲. مشخصات رکوردهای لرزه‌بی اعمالی به سازه.

رکورد لرزه‌بی	تاریخ وقوع	PGA (g)
طبس	۱۹۷۸/۰۹/۱۶	۰,۸۳۶
کوبه	۱۹۹۵/۰۱/۱۶	۰,۸۲۱
منجیل	۱۹۹۰/۰۶/۲۰	۰,۳۹
نژد	۱۹۹۴/۰۱/۱۷	۱,۷۸
الستنزو	۱۹۴۰/۰۵/۲۲	۰,۲۳

برای انجام تحلیل‌ها (بارافزون، تاریخچه‌ی زمانی) از نرم‌افزار PERFORM-3D ۳/۷۴/۰ استفاده شده است. علت استفاده از این نرم‌افزار آن است که صحت محاسبات آن در حوزه‌ی خطی و غیرخطی اثبات شده است.^[۱] و نتایج به دست آمده از نرم‌افزار به صورت بسیار کاربردی و متنوع در اختیار کاربر قرار می‌گیرد.

۲. مشخصات مدل‌ها و رکوردهای در نظر گرفته شده

سازه‌های مورد بررسی در این پژوهش در جدول ۱ آمده که هر یک دارای ارتفاع ۳ متر در هر طبقه و دهانه ۵ متر است. از آنجایی که هدف اصلی این پژوهش چگونگی برآوردن ضوابط کنترل تغییرمکان و اثر نموده تقویت در آنها بوده است، ساختمان‌های مورد بررسی همگی لاغر انتخاب شده‌اند.

در تمامی موارد مذکور این سازه‌ها ابتدا در نرم‌افزار ETABS تحلیل و طراحی استاتیکی خطی و سپس با مقاطع به دست آمده در نرم‌افزار PERFORM مدل شده‌اند. برای هر یک از این ساختمان‌ها، علاوه بر تحلیل بارافزون، تحلیل تاریخچه‌ی زمانی غیرخطی تحت رکوردهای لرزه‌بی نیز انجام شده است. رکوردهای موردنیاز برای تحلیل تاریخچه‌ی زمانی ۵ رکورد واقعی زلزله، شامل: طبس، منجیل، الستنزو، نژد و نژد، با مشخصات مذکور در جدول ۲ است. مشخصات دقیق تر این رکوردها در پژوهشی در سال ۲۰۱۱^[۲] ارائه شده است.

۳. صحت‌سنجی نرم‌افزار مورد استفاده

برای تحقیق صحت نرم‌افزار PERFORM در انجام تحلیل تاریخچه‌ی زمانی خطی، یک سازه‌ی یک درجه آزادی تحت تحریک سینوسی $\sin 10^\circ t$ ، تحلیل و نتایج آن با حل دستی مقایسه شد، که نتایج حاکی از صحت و دقیق نرم‌افزار است. در مرحله‌ی بعد، نتایج تحلیل تاریخچه‌ی زمانی خطی با اعمال رکورد کوبه و طبس و نژد با هم به دست آمد، که نشان‌گر صحت تحلیل تاریخچه‌ی زمانی خطی در این نرم‌افزار است. برای اطمینان از صحت تحلیل تاریخچه‌ی زمانی غیرخطی در این

این تذکر لازم است که برای کنترل دریفت^۲ در سازه‌ها روند معمول، که امروزه در برخی مراکز محاسباتی انجام می‌شود، استفاده از تبصره‌ی مذکور است. آنها پس از طراحی سازه طبق آئین نامه‌ی زلزله (استاندارد ۲۸۰۰) در نرم‌افزاری مثل ETABS، زمان تناوب اصلی (مود اول) را از نرم‌افزار می‌خوانند و سپس از طریق اعمال آن به عنوان دوره‌ی تناوب محاسبه‌ی بار لرزه‌بی در تعریف بار لرزه‌بی، سازه را مجدد تحلیل می‌کنند. سپس تغییرمکان جانی طبقه را با میران مجاز (که در بند ۴-۵-۲ محاسبه شد) مقایسه می‌کنند، که در صورت تجاوز، سازه باید تقویت شود. این تقویت معمولاً روی المان‌های ستون طبقات نخست انجام می‌شود. بررسی‌های موجود در پژوهشی در سال ۲۰۱۱ نشان داده است که تقویت ساختمان باعث افزایش برش پایه در زلزله‌های واقعی می‌شود.^[۱] مثلاً اگر دو ساختمان دارای سختی یکسان ولی با مقاومت‌های متفاوت باشند، ساختمان قوی‌تر در زلزله، برش پایه‌ی بیشتری می‌گیرد. افزایش برش پایه، که متناسب با مقاومت جانی سازه است، می‌تواند عملکرد برخی المان‌ها و همچنین اتصالات را تحت تأثیر قرار دهد. لذا لازم است بررسی‌های دقیق صورت گیرد تا اثر این نوع تقویت در رفتار لرزه‌بی سازه‌ها بررسی شود.

در این پژوهش برای تقویت سازه‌ها، دو راه در نظر گرفته شده است؛ که عبارت اند:

۱. تقویت به شیوه‌ی معمول در برخی دفاتر مهندسی، که در آن فقط ستون‌های طبقات پایین تقویت می‌شوند.

۲. تقویت بهینه در المان‌های نیازمند (تقویت پیشنهادی این پژوهش). البته در حال حاضر روند موردنمود قبول پژوهشگران این است که فقط در طبقاتی از سازه که دریفت جوابگو نبوده است، به تقویت تیری یا ستون اقدام شود. در این پژوهش روش دیگری پیشنهاد شده است که در آن مقاومت اعضاء نسبت مناسب تری با توزع بار جانی ناشی از زلزله دارند و لذا می‌توانند رفتار بهتری بروز دهند و در ضمن میان اعضای سازه‌ی ساختمانی که با این روش به دست می‌آید، هماهنگی بیشتری وجود دارد.

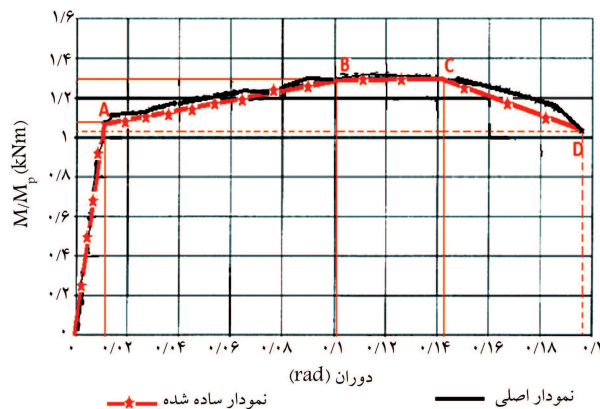
باتوجه به اهمیت مسئله‌ی تقویت و اثر آن در سازه، در این پژوهش رفتار لرزه‌بی ساختمان تقویت شده با ساختمان تقویت‌نشده مقایسه و راهکاری نیز برای یافتن اعضایی که نیاز به تقویت دارند، پیشنهاد شده است تا تقویت به طور مناسب انجام شود. بنابراین، برای این ساختمان‌ها سه حالت در نظر گرفته شده‌است، که عبارت اند:

۱. ساختمانی که در آن ضوابط کنترل تغییرمکان برآورده نشده است.

۲. ساختمانی که در آن ضوابط با استفاده از تقویت ستون طبقات پایین ارضاء شده‌اند.

۳. ساختمان پیشنهادی این پژوهش که تقویت در المان‌های نیازمند و به صورت مناسب صورت می‌گیرد.

در این پژوهش، عملکرد سه سازه با هم مقایسه می‌شود، تا ضمن یافتن تأثیر تقویت روی سازه مشخص شود که کدام تقویت سبب عملکرد بهتر ساختمان می‌شود.



شکل ۲. نودار ساده شده‌ی لنگر خمی - دوران آزمایش [۱۰]. ۲۲

جدول ۳. مقایسه‌ی مقادیر پارامترهای a, b و c از طریق جدول ۳۵۶ FEMA [۷] و نوشتار Davies [۱۰].

c	b(θy)	a(θy)	روش
۰,۶	۱۱	۹	[۷] FEMA ۳۵۶
۰,۹	۱۴	۱۱	[۱۰] Davies

طبق ضوابط ۳۵۶ FEMA، [۷] و نشریه‌ی ۳۶۰ ایران، [۱۰] برای یافتن نودار غیرخطی دوران وجود دارد که در این پژوهش از هر دو روش استفاده شده است:
۱. براساس جدول: مقادیر پارامترهای a و b و c مطابق شکل ۱ الف برای اجزاء قاب خمی فولادی در جدول ۳-۵ (از نشریه‌ی ۳۶۰) [۱۰] آمده است.

۲. براساس مطالعات آزمایشگاهی: به طور عملی طبق مطالعات آزمایشگاهی برای یافتن پارامترهای a, b و c، ساده‌سازی نودار رفتاری میان خمی در برای فولادی در سال ۲۰۰۶ [۱۰] استفاده شده است.

برای یافتن پارامترهای a, b و c، برای یافتن پارامترهای a, b و c، ساده‌سازی نودار رفتاری میان خمی در برای فولادی در سال ۲۰۰۶ [۱۰] استفاده شده است. برگرفته از مطالعات آزمایشگاهی در پژوهشی در سال ۲۰۰۶ [۱۰] در شکل ۲ انجام شده است تا مشابه نودارهای تعریف شده در ۳۵۶ FEMA (شکل ۱الف) و PERFORM (شکل ۱ب) شود. مقایسه‌ی مقادیر پارامترهای a, b و c، حاصل از جدول ۳۵۶ FEMA [۷] و تحلیل انجام شده در پژوهشی در سال ۲۰۰۶ [۱۰] در جدول ۳ آمده است.

باتوجه به مقادیر a, b و c حاصل از جدول ۳ و بهره‌گرفتن از نظر FEMA و پژوهشی در سال ۲۰۰۶ [۱۰]، مقادیر پارامترهای a, b و c به ترتیب برابر ۱۱، ۱۶ و ۰,۸۲ در نظر گرفته شده است. این مقادیر و پارامترهای رفتار غیرخطی مفصل خمیری در نرم‌افزار PERFORM (شکل ۱ب) به این طریق تعریف می‌شود:

$$D_U/D_Y = 8 \quad D_L/D_Y = 11 \quad D_R/D_Y = 15$$

$$D_X/D_Y = 16 \quad F_R/F_U = 0,6 \quad F_Y/F_U = 0,82$$

رفتار غیرخطی اعضا به همین شکل مدل می‌شود.

۵. بررسی نحوه محاسبه‌ی زمان تناوب بر رفتار لرزه‌ی

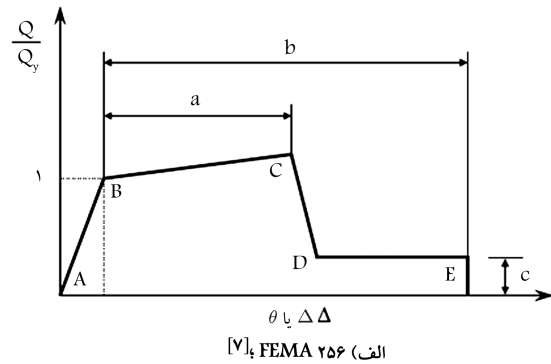
پس از تحلیل استاتیکی خطی سازه‌های تک دهانه و دو دهانه‌ی ۵ طبقه در نرم‌افزار ETABS طبق آین نامه‌ی ۲۸۰۰، که مقاطع آن به ترتیب در شکل‌های ۳الف و ۴الف

نرم‌افزار، مثالی که در آن یک مسئله به صورت دقیق و دستی حل شده بود (مثال ۵.۶)، [۲] پس از مدل‌سازی آن مشاهده شد که نتایج حاصل از نرم‌افزار به خوبی با حل دقیق هم‌خوانی دارد. نمودارها و نتایج مربوط به طور کامل در مرجع [۲] آمده است.

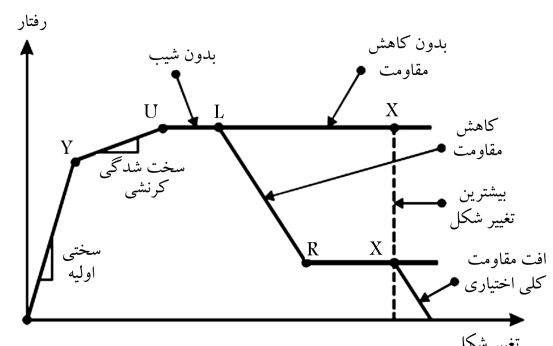
۴. مشخصات مفاصل خمیری اعضا سازه‌ی

یکی از راه‌های مدل‌سازی رفتار غیرخطی سازه‌ها، استفاده از مفاصل غیرخطی در اعضاست. لازمه‌ی انجام هرگونه تحلیل غیرخطی، معرفی مشخصات مفصل غیرخطی است. این مفاصل در نقاطی از اعضا که احتمال تجاوز نیروهای داخلی عضو از مقاومت تسليم وجود دارد، تعریف می‌شوند. [۲] رفتار واقعی اجزاء در یک سازه‌ی حقیقی معمولاً با عدم قطعیت‌های بی‌شماری سروکار دارد. در بیشتر مواقع بهترین راهکار این است که فقط از قسمت‌هایی از یک رفتار غیرخطی استفاده کنیم که بیشترین تأثیر را دارند. [۵]

در قاب خمی، این مفاصل در ابتدا و انتهای تیر و ستون در نظر گرفته شده‌اند. [۶] منحنی رفتار غیرخطی مفصل خمیری در ۳۵۶ FEMA [۷] و در نرم‌افزار PERFORM [۸] به ترتیب در شکل‌های ۱الف و ۱ب آمده است، که اندکی با هم تفاوت دارند. براساس ۳۵۶ FEMA [۷] و نشریه‌ی ۳۶۰ [۱۰] رفتار هر یک از مفاصل به صورتی که در شکل ۱الف نشان داده است، تعریف می‌شود. پارامترهای a و b، به ترتیب بیان‌گر نسبت دوران متناظر با ممان بیشینه و دوران نهایی، به دوران نقطه‌ی تسليم است و نشان‌گر شکل بذری و نرمی سازه است. پارامتر c نشان‌گر تنش پسماند، یعنی مقادار تنش باقیمانده، یا لنگر خمی باقیمانده در سازه است.



الف) FEMA ۳۵۶



ب) نرم افزار PERFORM [۸]

شکل ۱. منحنی رفتار غیرخطی سازه‌ها در محل تشکیل مفصل خمیری.

جدول ۴. کنترل دریفت سازه‌های ۵ طبقه از طریق بند ۴-۵-۲ آینین نامه‌ی ۲۸۰۰

تقویت	سازه (m)	سازه (m)	مجاز طبقه‌ی آخر	تغییر مکان جانبی	نیاز
دارد	۰/۰۷۶۵	۰/۱۰۳۹	۰/۱۰۳۹	طبقه‌ی تک دهانه	۵
دارد	۰/۰۷۶۵	۰/۱۰۵	۰/۱۰۵	طبقه‌ی دو دهانه	۵

جدول ۵. کنترل دریفت سازه‌های ۵ طبقه از طریق تبصره‌ی بند ۴-۵-۲ آینین نامه‌ی ۲۸۰۰

تقویت	(m)	اصلی (s)	جانبی سازه	جانبی مجاز	دوره‌ی تناوب	تغییر مکان	نیاز
نیازدار	۰/۰۷۶۵	۱/۰۶۵	۰/۰۷۱	۰/۰۷۶۵	۰/۰۷۶۵	۰/۰۷۶۵	۵ طبقه‌ی تک دهانه
نیازدار	۰/۰۷۶۵	۱/۰۱۴۵	۰/۰۷۲۱۹	۰/۰۷۶۵	۰/۰۷۲۱۹	۰/۰۷۶۵	۵ طبقه‌ی دو دهانه

حال اگر از راه دوم و تبصره‌ی بند ۴-۵-۲ استاندارد استفاده شود، تغییر مکان جانبی سقف از میزان مجاز تغییر مکان جانبی کمتر و سازه جوابگوی کنترل دریفت است (جدول ۵)، بدون اینکه نیاز به تقویتی داشته باشد. به عبارت دیگر، سازه‌ی کنترل دریفت شده از راه دوم، همان سازه‌ی اصلی (سازه‌ی بدون کنترل دریفت) است.

پس در بررسی نحوه محاسبه زمان تناوب در سازه‌ی ۵ طبقه با دو حالت رو برو هستیم:

سازه‌ی ۱: سازه‌یی که بدون تقویت خاص جوابگوی کنترل دریفت از راه دوم است. (سازه نشان داده شده در قسمت الف شکل‌های ۳ و ۴)

سازه‌ی ۲: سازه‌یی که برخی از اعضای آن باید تقویت شود (سازه‌ی جوابگوی کنترل دریفت از راه اول که در قسمت ب شکل‌های ۳ و ۴ نشان داده شده است).

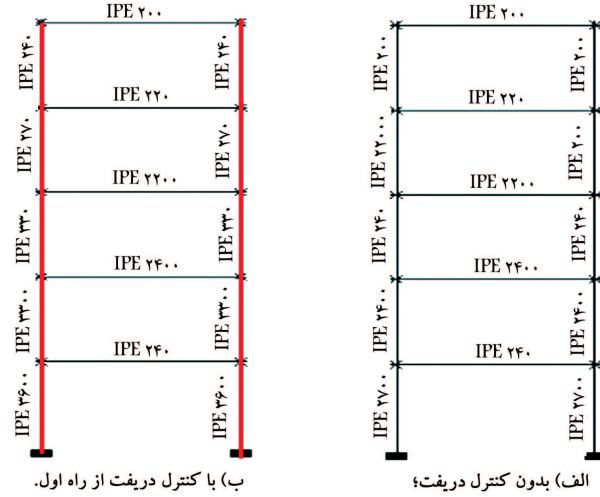
مقایسه‌ی نمودارهای تحلیل بارافزون ۳ در سازه‌ی ۱ و ۲ در قاب ۵ طبقه‌ی تک و دو دهانه به ترتیب در شکل‌های ۱۵الف و ۱۵ب آمده است. طبق شکل ۵، سازه‌ی ۲ به علت داشتن سختی بیشتر (مقاطع قوی‌تر)، دارای برش پایه‌ی بیشتر و تغییر مکان جانبی سقف کمتر است.

تعداد مفاصل خمیری تشکیل شده در سازه‌ی ۱ و ۲ در سازه‌ی ۵ طبقه‌ی تک دهانه به ترتیب ۹ و ۸ عدد و در سازه‌ی ۵ طبقه‌ی دو دهانه به ترتیب ۲۱ و ۱۷ عدد است و تمامی مفاصل خمیری در تیرها و پای ستون‌ها تشکیل شده‌اند و هیچ کدام در المان ستون (غیر از پای ستون) تشکیل نشده است. مفصلی که سبب خرابی سازه و متوقف شدن تحلیل شده است، به ترتیب در تیر طبقه‌ی دوم و سوم از سازه‌ی ۱ و ۲ است. محل و ترتیب تشکیل مفاصل خمیری به طور کامل در مرجع [۱] آمده است.

۱.۵. تحلیل تاریخچه زمانی ساختمان ۵ طبقه

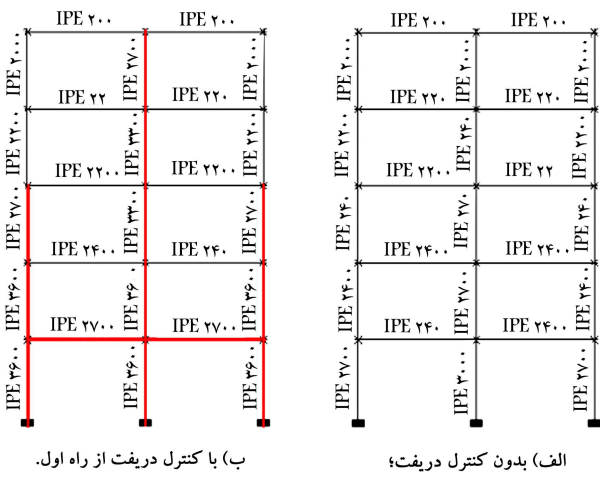
برای ساختمان‌های ۵ طبقه حاصل که در شکل‌های ۳ و ۴ دیده می‌شوند تحلیل تاریخچه‌ی زمانی غیرخطی با اعمال رکوردهای طبس، منجیل، الاسترتو، کوبه و نرثیریج با مشخصات مذکور در جدول ۲ در نرم‌افزار PERFORM انجام می‌شود و با افزایش PGA (بیشینه‌ی شتاب)، بیشینه‌ی شتابی که ساختمان از هر رکورد می‌تواند تحمل کند، به دست می‌آید.

نتایج تحلیل تاریخچه‌ی زمانی غیرخطی افزاینده (IDA)^۴ سازه‌ی ۱ و ۲ در



(ب) با کنترل دریفت از راه اول.

(الف) بدون کنترل دریفت؛ مقاطع حاصل از طراحی سازه‌های ۵ طبقه‌ی تک دهانه.



(ب) با کنترل دریفت از راه اول.

(الف) بدون کنترل دریفت؛ مقاطع حاصل از طراحی سازه‌های ۵ طبقه‌ی دو دهانه.

آمده است، به کنترل دریفت سازه پرداخته می‌شود. براساس استاندارد ۲۸۰۰، دو راه برای کنترل وجود دارد که عبارت‌اند از:

۱. استفاده از زمان تناوب به دست آمده از فرمول‌های تجربی موجود در استاندارد ۲۸۰۰:

۲. استفاده از دوره‌ی تناوب به دست آمده از تحلیل مدل‌های رایانه‌ی سازه (براساس تبصره‌ی بند ۴-۵-۲ آ-۵-۲ استاندارد ۲۸۰۰).

این نذکر لازم است که در ساختمان‌های مذکور مود اول غالب است؛ لذا به جای نشان دادن دریفت همه‌ی طبقات در جداول و نمودارها، فقط تغییر مکان جانبی سازه در طبقه‌ی آخر ارائه شده است.

همانگونه که در جدول ۴ نشان داده شده است براساس راه نخست سازه‌های حاصل جوابگوی ضوابط کنترل دریفت نیستند و نیاز به تقویت دارند. سازه‌های تقویت شده که جوابگوی ضوابط کنترل دریفت هستند دارای مشخصات مقاطع نشان داده شده در شکل ۳ ب و ۴ ب هستند. اعضا تقویت شده در سازه‌ی ۵ طبقه‌ی تک دهانه طبق شکل ۳ ب، ستون‌های طبقات اول تا پنجم و در سازه‌ی ۵ طبقه‌ی دو دهانه مطابق شکل ۴ ب، ستون‌های کناری طبقات اول تا سوم و ستون وسط طبقات اول تا پنجم و تیرهای طبقه‌ی اول هستند.

جدول ۷. بیشینه‌ی جابجایی سقف و برش پایه‌ی حاصل از تحلیل تاریخچه‌ی زمانی غیرخطی در سازه‌ی ۱ و ۲.

الف) سازه‌ی ۵ طبقه‌ی تک دهانه.

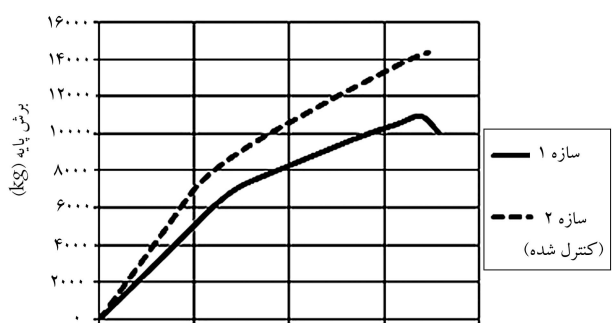
سازه‌ی ۲		سازه‌ی ۱		رکورد
V (KN)	D (Cm)	V (KN)	D (Cm)	
۹۷,۴	۱,۰۷	۹۳,۱	۱,۲۱	(PGA = ۰,۱۷ g)
۷۶,۱	۰,۹۶	۸۰,۸	۱,۷۶	(PGA = ۰,۱۶ g)
۱۱۸,۹	۱,۳۶	۱۰۲,۷	۲,۱۵	منجیل (g)
۱۳۵,۹	۱,۳۱	۷۰,۹	۱,۴۲	نژاتیج (g)
۱۲۱,۹	۱,۵	۸۷,۶	۱,۷۱	الستترو (g)

ب) سازه‌ی ۵ طبقه‌ی دو دهانه.

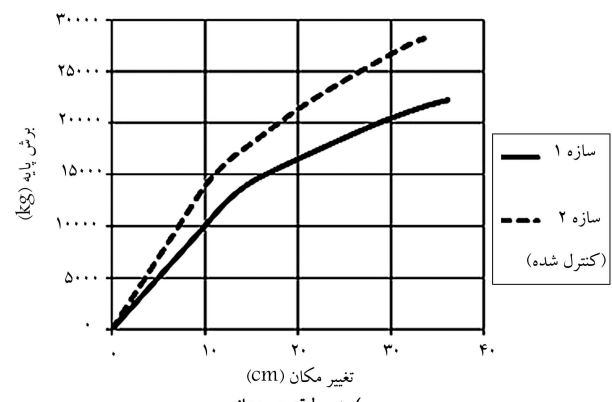
سازه‌ی ۲		سازه‌ی ۱		رکورد
V (KN)	D (Cm)	V (KN)	D (Cm)	
۲۸۸,۷	۱,۵۸	۲۳۴,۹	۱,۶۲	(PGA = ۰,۲۵ g)
۱۳۵,۴	۰,۹۴	۱۳۸,۷	۱,۶۵	کوبه (g)
۲۲۹,۵	۱,۳۹	۲۱۲,۰	۲,۴	منجیل (g)
۲۱۸,۳	۱,۱۲	۱۶۰,۱	۱,۵۹	نژاتیج (g)
۲۴۹,۰	۱,۵۵	۱۸۰,۹	۱,۹۶	الستترو (g)

سازه به دلیل تقویت‌های انجام شده از سازه‌ی ۱ سنگین‌تر و غیراقتصادی‌تر است. بیشینه‌ی جابجایی سقف و برش پایه‌ی حاصل از تحلیل تاریخچه‌ی زمانی غیرخطی در سازه‌ی ۱ و ۲ در قاب ۵ طبقه‌ی تک و دو دهانه به ترتیب در جدول‌های ۷الف و ۷ب آمده است. همان‌گونه که در این جدول‌ها دیده می‌شود، سازه‌ی ۲ دارای برش پایه‌ی بیشتر و جابجایی کمتر است.

بنابراین از تحلیل دو سازه‌ی ۱ و ۲ (تک دهانه و دو دهانه‌ی ۵ طبقه با سیستم قاب خمیشی فولادی متوسط) می‌توان چنین نتیجه گرفت که تقویت زیاد سازه ناشی از بکارگیری دوره‌ی تناوب حاصل از فرمول‌های تجربی موجود در آینه نامه، به برش پایه‌ی بزرگ تری منجر می‌شود و استفاده از آن در کنترل تغییرمکان، عملکرد لرزه‌ی سازه را بدتر می‌کند. بنابراین به منظور کنترل دریفت در بقیه‌ی سازه‌های موردن بررسی در این پژوهش از راه دوم، یعنی از تبصره‌ی بند ۴-۵ آینه نامه استفاده شده است. به طور خلاصه می‌توان گفت اگر تقویت بدون توجه به نحوه توزیع نیروها در سازه انجام شود، به دلیل زیاد شدن برش پایه در سازه‌ی تقویت شده ممکن است برخی اعضاء، دارای نیروی بیشتر در زلزله و در نتیجه باعث خرابی اعضای تقویت شده شوند. پیشنهاد این پژوهش به منظور اعمال تقویت‌های موردنیار برای ارضاء ضوابط کنترل تغییرمکان با توجه به توزیع صحیح نیرو بین اعضاء این است که به منظور کنترل تغییرمکان این نامه، به نحوه توزیع نیروها در سازه دقت شود و تقویت بهینه کنترل تغییرمکان آینه نامه، به نحوه توزیع نیروها در سازه دقت شود و تقویت بهینه صورت گیرد، که در ادامه، روی سازه‌های ۶، ۷، ۸ و ۹ طبقه این موضوع بررسی خواهد شد.



الف) پنج طبقه تک دهانه؛



ب) پنج طبقه دو دهانه.

شکل ۵. مقایسه‌ی نمودار حاصل از تحلیل با رافزون سازه‌ی ۱ و ۲.

جدول ۶. بیشینه‌ی شتاب قابل تحمل (مضرب g) رکوردها توسط هر یک از سازه‌های ۵ طبقه‌ی ۱ و ۲.

الف) سازه‌ی ۵ طبقه‌ی تک دهانه.

سازه	طبس	کوبه	منجیل	نژاتیج	الستترو
اولیه	۰,۲۳	۰,۷۱	۰,۴۳	۰,۲۵	۰,۲۵
تقویت شده	۰,۱۸	۰,۱۷	۰,۳۶	۰,۱۶	۰,۳۶

ب) سازه‌ی ۵ طبقه‌ی دو دهانه.

سازه	طبس	کوبه	منجیل	نژاتیج	الستترو
اولیه	۰,۱۸	۰,۷۱	۰,۵۹	۰,۱۶	۰,۲۵
تقویت شده	۰,۱۸	۰,۱۷	۰,۳۶	۰,۱۶	۰,۳۶

قابل ۵ طبقه‌ی تک و دو دهانه به ترتیب در جدول‌های ۶الف و ۶ب آمده است، که نشان‌گر بیشینه‌ی شتاب قابل تحمل توسط سازه است. مثلاً براساس جدول ۶الف، سازه‌ی ۱ و ۲ در زلزله‌ی طبس، به مقدار بیشینه می‌توانند به ترتیب شتاب $g = 0,25$ و $0,17$ را تحمل کنند و اگر این زلزله کمی از دهد حد فراتر رود، یکی از مفاصل سازه دچار شکست می‌شود. این نتایج نشان می‌دهد که سازه‌ی ۲، یعنی سازه‌ی که براساس زمان تناوب به دست آمده از فرمول‌های تجربی طراحی شده است، از سازه‌ی دیگر (سازه‌ی ۱) که براساس تبصره‌ی ۴-۵-۲ حاصل شده است، شتاب کمتری را در هر ۵ رکورد پذیرفته است. ضمن اینکه این

جدول ۸. کنترل دریفت سازه‌های ۶، ۷، ۸ و ۹ طبقه با استفاده از تبصره‌ی بند ۴-۵-۲ آینین نامه‌ی ۲۸۰۰ و بررسی لزوم تقویت.

نیاز	تغییرمکان	دوره‌ی تناوب	تغییرمکان	سازه	جانبی مجاز به	اول سازه‌ی	جانبی طبقه‌ی	اصالی (s)	طبقه‌ی آخر	طبقه‌ی آخر	تقویت
دارد	۰,۰۶۴۲۸	۰,۰۶۹	۱,۹۱۷۱	۶ طبقه							
دارد	۰,۰۷۵	۰,۰۷۸	۲,۰۳۱۸	۷ طبقه							
دارد	۰,۰۸۵	۰,۰۹۱۹	۲,۲۴۷۸	۸ طبقه							
دارد	۰,۰۹۶	۰,۱۰۷۴	۲,۴۷۳۹	۹ طبقه							

جدول ۹. کنترل دریفت و جوابگویی سازه‌های تقویت شده‌ی ۶، ۷، ۸ و ۹ طبقه با استفاده از تبصره‌ی بند ۴-۵-۲ آینین نامه‌ی ۲۸۰۰.

جوابگوی	تغییرمکان	دوره‌ی تناوب اول	تغییرمکان	سازه	سازه‌ی تقویت شده	جانبی مجاز	کنترل	از روش اول (s)	آخر	طبقه‌ی آخر	دریفت
است	۰,۰۶۴۲	۰,۰۶۴	۱,۷۴۸	۶ طبقه							
است	۰,۰۷۵	۰,۰۷۴۹	۱,۹۳۷	۷ طبقه							
است	۰,۰۸۵۷	۰,۰۸۵۲	۲,۰۷۳۸	۸ طبقه							
است	۰,۰۹۶۴	۰,۰۹۶۳	۲,۲۲۲۳	۹ طبقه							

از محدوده‌ی خاصی فراتر رود، براساس استاندارد ۲۸۰۰^[۱] باید ساختمان را جزو سازه‌های نامنظم به حساب آورد. از طرف دیگر، معمولاً راهکار مناسبی برای انتخاب اعضاء از بین تیر و ستون هر طبقه‌ی برای تقویت به منظور ارضاء ضوابط کنترل تغییرمکان نیز وجود ندارد. هر چند که تقویت تیرها می‌تواند در این زمینه مؤثر باشد؛ ولی باعث می‌شود که برخی ضوابط ساختمان‌های ویژه از جمله ضوابط بخش ۵-۷ استاندارد ۲۸۰۰، که همواره وجود ستون قوی‌تر از تیر را کنترل می‌کند، متاثر شود. بنابراین در این‌گونه موارد طراح باید علاوه بر تقویت تیر، ستون را نیز قوی‌تر کند. در این بخش راهکار دیگری برای یافتن اعضایی که نیاز به تقویت دارند تا ضوابط کنترل تغییرمکان ارضاء شود، ارائه شده است. در این روش، تقویت به صورت مناسب و در المان‌های مورد نیاز در چند مرحله انجام می‌شود به این صورت که در هر مرحله، برش پایه‌ی آن مرحله در نسبت تغییرمکان جانبی آن مرحله به تغییرمکان نسبی محاز ضرب می‌شود و برش پایه‌ی جدید به دست آمده مجدداً به سازه اعمال می‌شود (رابطه‌ی ۲).

$$C_{i+1}/C_i = V_{i+1}/V_i = \Delta_i/\Delta_W \quad (2)$$

که در آن، V_i برش پایه‌ی سازه‌ی مرحله‌ی i ام، C_i ضریب زلزله‌ی سازه‌ی مرحله‌ی i ام، Δ_i تغییرمکان جانبی سازه‌ی مرحله‌ی i ام، Δ_W تغییرمکان محاز. با اعمال این بار لرزه‌یی به سازه ممکن است بعضی المان‌ها جوابگو نباشند؛ که تقویت می‌شوند. حال کنترل جابجایی با تبصره‌ی بند ۴-۵-۲ (استفاده از دوره‌ی تناوب محاسباتی) انجام می‌شود، اگر دریفت سازه با این میزان تقویت جوابگو نبود،

در سازه‌های ۲ دهانه‌ی ۵ طبقه با سیستم قاب خمشی فولادی ویژه و ۲ دهانه‌ی ۶، ۷، ۸ و ۹ طبقه با سیستم قاب خمشی فولادی متوسط برای کنترل دریفت از راه دوم، یعنی با استفاده از زمان تناوب به دست آمده از مدل رایانه‌یی مشاهده شد که این سازه‌ها بدون نیاز به تقویت، جوابگوی ضابطه‌ی کنترل تغییرمکان آینین نامه هستند؛ لذا همین سازه‌ها (۶، ۷، ۸ و ۹ طبقه) با سیستم قاب خمشی فولادی ویژه مورد توجه قرار گرفتند.

۶. بررسی اثر چگونگی اعمال تقویت‌های سازه به منظور ارضاء ضوابط کنترل تغییرمکان

در این بخش به چگونگی اعمال تقویت‌های سازه‌یی مورد نیاز برای ارضاء ضوابط کنترل تغییرمکان پرداخته شده است. همان‌گونه که قبلاً بیان شده است، برای این امر

۳ راه وجود دارد، که عبارت‌اند از:

۱. تقویت ستون‌های پایین ساختمان، که روش معمول برخی دفاتر مهندسی است.

۲. تقویت فقط در طبقاتی که دریفت آنها از حد مجاز فراتر رفته است.

۳. روش پیشنهادی این پژوهش.

راه دوم در برخی پژوهش‌ها بررسی شده است، و در این پژوهش به آن پرداخته نمی‌شود.

برای بررسی و مقایسه‌ی روش‌های اول و سوم، سازه‌های ۶، ۷، ۸ و ۹ طبقه، دارای قاب خمشی فولادی ویژه در نظر گرفته می‌شوند. در این سازه‌ها، بعد از تحلیل استاتیکی خطی براساس آینین نامه‌ی ۲۸۰۰ در نرم افزار ETABS، کنترل دریفت سازه‌ها، از طریق راه دوم، یعنی استفاده از تبصره‌ی بند ۴-۵-۲، انجام می‌گیرد. جدول ۸، عدم جوابگویی کنترل دریفت در سازه‌ها و لزوم تقویت در آنها را نشان می‌دهد.

تقویت سازه‌های در نظر گرفته شده به منظور ارضاء ضوابط کنترل دریفت به صورت انجام می‌گیرد:

روش اول: تقویت به روش معمول، که فقط با تقویت ستون‌های طبقات پایین انجام می‌گیرد و تقویت به حدی انجام می‌شود، که تغییرمکان جانبی کمتر از تغییرمکان محاز شود. در این روش سازه در ستون‌های طبقات نخست تقویت می‌شود و سپس کنترل دریفت سازه‌ی تقویت یافته از طریق اعمال دوره‌ی تناوب اول آن در تعریف بار لرزه‌یی به عنوان دوره‌ی تناوب محاسبه‌ی بار لرزه‌یی و سپس تحلیل مجدد آن و مقایسه‌ی تغییرمکان جانبی سقف با میزان محاز تغییرمکان انجام می‌گیرد.

براساس جدول ۹، تغییرمکان جانبی سقف از میزان محاز تغییرمکان کمتر است که نشان می‌دهد سازه‌ی تقویت شده جوابگوی کنترل دریفت است. برای نمونه، سازه‌ی ۶ طبقه‌ی تقویت شده به روش معمول که اعضاء تقویت شده‌ی آن ستون‌های کناری در طبقات اول تا چهارم و ستون وسط در طبقات اول تا سوم است در شکل ۵ ب، آمده است.

برای بقیه‌ی سازه‌ها، یعنی سازه‌ی ۷، ۸ و ۹ طبقه، این تقویت‌ها انجام شده است، که در جدول ۱۰، اعضای تقویت شده به روش ارائه آمده است.

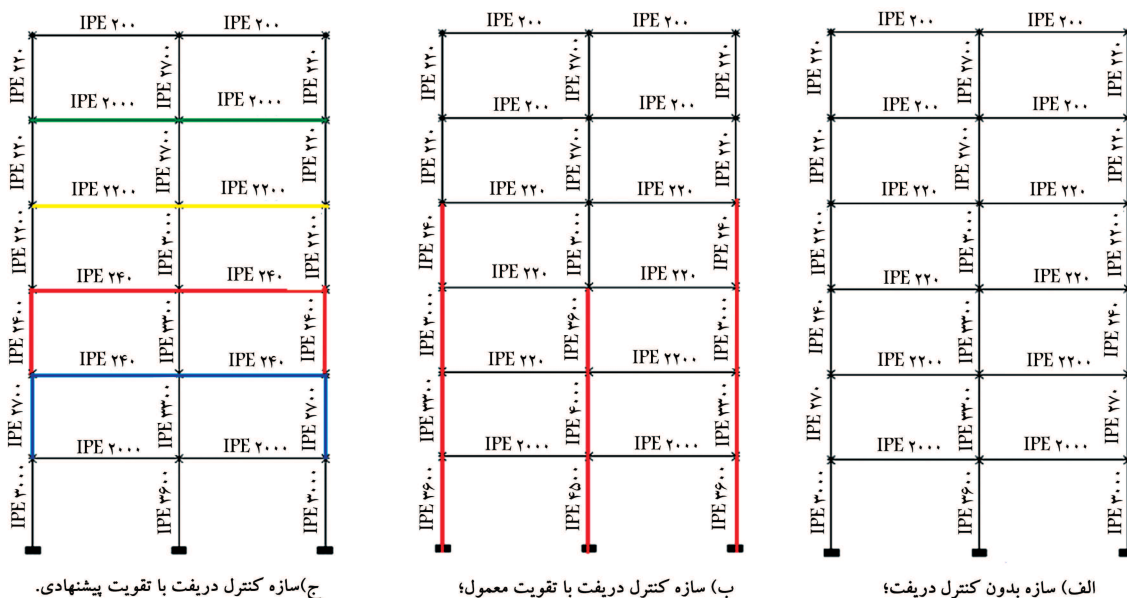
روش دوم: هرچه مقاومت و سختی سازه در طبقات مختلف دارای تغییرات یکنواخت‌تر باشد، آن ساختمان رفتار لرزه‌یی بهتر و بر عکس هرچه تغییرات سختی و مقاومت طبقات زیادتر باشد، رفتار بدتر خواهد داشت؛ به گونه‌یی که اگر این تغییرات

جدول ۱۰. اعضای تقویت شده در سازه های ۷، ۸ و ۹ طبقه طبق دو روش معمول و پیشنهادی به منظور کنترل دریفت.

طبقه	نوع تقویت	تعداد		
		ستون های کناری	ستون وسط	تیرهای دو دهانه
۷	برخی دفاتر مهندسی	اول تا سوم	اول و دوم	—
	پیشنهادی	دوم و پنجم	دوم	دوم تا چهارم
۸	برخی دفاتر مهندسی	اول تا ششم	اول تا چهارم	—
	پیشنهادی	اول، دوم، پنجم تا هفتم	—	اول، چهارم، پنجم، هفتم
۹	برخی دفاتر مهندسی	اول تا هفتم	اول تا هشتم	—
	پیشنهادی	دوم، سوم، پنجم تا هشتم	اول، دوم، چهارم، هفتم	اول، دوم، چهارم، هفتم

جدول ۱۱. مراحل تقویت اعضای سازه هی ۶ طبقه به منظور کنترل دریفت طبق روش پیشنهادی.

اعضای تقویت شده	I
—	۱
تیرها و ستون های کناری طبقه هی سوم	۲
تیرهای طبقه هی پنجم	۳
تیرها و ستون های کاری طبقه هی دوم	۴
تیرهای طبقه هی چهارم	۵



شکل ۶. مقاطع حاصل از طراحی سازه هی دو دهانه هی ۶ طبقه هی قاب خمشی ویژه در نرم افزار ETABS.

دوباره برای مرحله هی بعدی این روند تکرار و تقویت های جدیدتری انجام می شود و به روش برخی دفاتر مهندسی (تقویت در ستون های پایه ساختمان) در شکل ۶ ب این تقویت های مرحله بی آنقدر تکرار می شوند که سازه بتواند جوابگوی ضوابط کنترل و سازه هی که از روش پیشنهادی پژوهش حاضر تقویت شده است (سازه هی مرحله هی دریفت باشد. برای نمونه، برای سازه هی ۶ طبقه، تقویت به روش پیشنهادی (روش دوم) به صورت مرحله به مرحله و اعضای تقویت شده در هر مرحله در جدول ۱۱ نشان داده شده است. از آنجایی که مود غالب نوسان مود نخست است فقط تغییر مکان طبقه هی آخر مدنظر قرار می گیرد و لازم نیست دریفت تمامی طبقات کنترل شوند. سازه هی نخست (سازه هی بدون کنترل دریفت) در شکل ۶الف و سازه هی تقویت شده

نام «سازه‌ی پیشنهادی» در نمودارها نشان داده شده است.

مقایسه‌ی نمودارهای بارافزون در سازه‌های ۱، ۲ و ۳ از قاب‌های ۶، ۷، ۸ و ۹ طبقه به ترتیب در شکل ۷ ب و ۷ ج و ۷ د آمده است. بیشینه‌ی برش پایه و تغییرمکان سازه‌ها و شکل‌پذیری سازه‌های ۱، ۲ و ۳ با توجه به نمودار بارافزون در جدول ۱۲ آمده است.

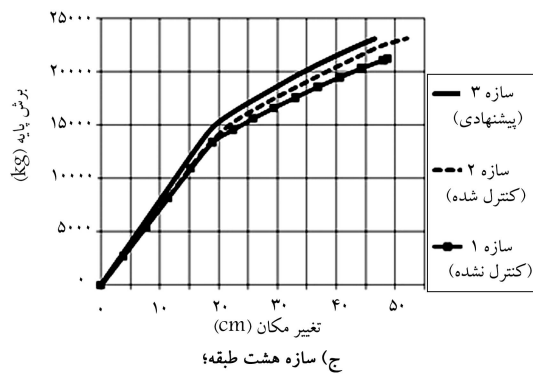
در تمامی سازه‌ها، همه‌ی مفاصل خمیری در تیرها و پایی ستون‌ها تشکیل شده‌اند و هیچ‌کدام در المان ستون (غیر از پایی ستون) تشکیل نشده است. مفاصلی که سبب خرابی سازه و متوقف شدن تحلیل شده است، در تیر طبقه‌ی سوم یا چهارم سازه‌ها بوده است.

به طور خلاصه، برای هرکدام از سازه‌های ۶، ۷، ۸ و ۹ طبقه با سه سازه مواجه هستیم:

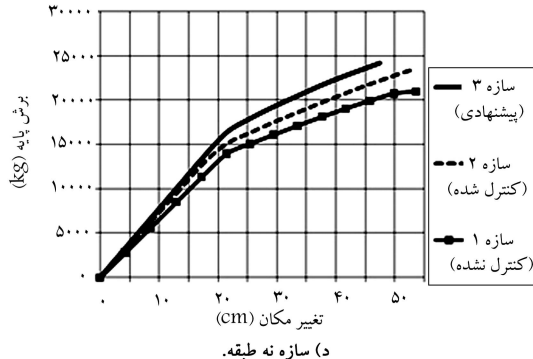
سازه‌ی ۱: سازه‌ی اولیه که فقط برای تحمل بارها و بدون درنظرگیری خواباط کنترل دریفت به دست آمده و در نمودارها با نام «سازه‌ی کنترل نشده» نشان داده شده است.

سازه‌ی ۲: سازه‌ی طراحی شده با انجام کنترل دریفت که فقط ستون‌های طبقات پایینی آن تقویت و در نمودارها با نام «سازه‌ی کنترل شده» نام‌گذاری شده است.

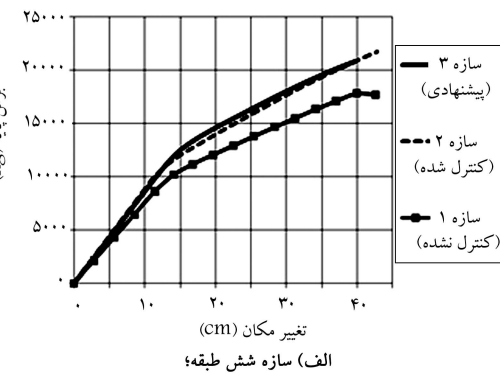
سازه‌ی ۳: سازی‌ی که کنترل دریفت آن به روش پیشنهادی این پژوهش انجام و با



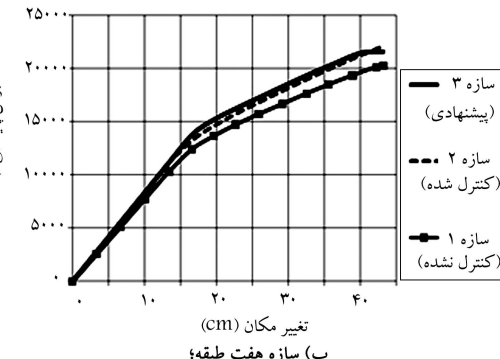
ج) سازه هشت طبقه؛



د) سازه نه طبقه؛



الف) سازه شش طبقه؛



ب) سازه هفت طبقه؛

شکل ۷. مقایسه‌ی نمودار بارافزون سازه‌ی ۱، ۲ و ۳.

جدول ۱۲. بیشینه‌ی برش پایه و تغییرمکان و شکل‌پذیری سازه‌ی ۱، ۲ و ۳ (۶، ۷، ۸ و ۹ طبقه).

سازه	تعداد طبقات	برش پایه‌ی جابجایی		برش پایه‌ی شکل‌پذیری		تعداد طبقات	برش پایه‌ی جابجایی	
		بشکل‌پذیری (cm)	بشکل‌پذیری (kg)	بشکل‌پذیری (cm)	بشکل‌پذیری (kg)		بشکل‌پذیری (cm)	بشکل‌پذیری (kg)
سازه‌ی اولیه (کنترل نشده)		۲,۵۶	۴۸,۷۶	۲۱۱۹۳	۳,۰۲	۴۲,۵۸	۱۷۶۷۱	
سازه‌ی کنترل شده (با تقویت ستون)	۶	۲,۳۸	۵۲,۰۱	۲۳۱۵۱	۸	۲,۹۷	۴۲,۸۳	۲۱۷۴۶
سازه‌ی پیشنهادی		۲,۴۵	۴۶,۵۷	۲۲۳۰۳	۲,۷۶	۳۹,۶۴	۲۰۸۲۴	
سازه‌ی اولیه (کنترل نشده)		۲,۴۹	۵۳,۶	۲۰۹۴۶	۲,۶	۴۳,۱۶	۲۰۲۴۴	
سازه‌ی کنترل شده (با تقویت ستون)	۷	۲,۴۴	۵۲,۶	۲۲۳۵۰	۹	۲,۵۶	۴۳,۲	۲۲۱۰۰
سازه‌ی پیشنهادی		۲,۲	۴۷,۵	۲۴۱۳۱	۲,۵۷	۴۳,۱۸	۲۱۵۶۸	

جدول ۱۳. بیشینه‌ی شتاب قابل تحمل (مضرب g) از رکوردها توسط هر یک از سازه‌های ۱، ۲ و ۳.

الف) ساختمان ۶ طبقه‌ی ویژه.

وزن (Kg)	سازه	طبس	کوبه	منجیل	نرثربیج	الستترو
۱۰۹۱۶	اولیه	۰,۱۶	۰,۵	۰,۴۷	۰,۲۵	۰,۱۷
۱۰۹۶۶	ستون تقویت شده	۰,۲۱	۰,۶۸	۰,۴۳	۰,۲۵	۰,۲۵
۱۰۹۳۳	تقویت پیشنهادی	۰,۲۳	۰,۵	۰,۵۱	۰,۲۵	۰,۲۵

ب) ساختمان ۷ طبقه‌ی ویژه.

وزن (Kg)	سازه	طبس	کوبه	منجیل	نرثربیج	الستترو
۱۲۷۷۵	اولیه	۰,۱۸	۰,۵۱	۰,۲۵	۰,۱۷	
۱۲۸۰۶	ستون تقویت شده	۰,۱۸	۰,۵۱	۰,۲۵	۰,۲۵	
۱۲۷۸۸	تقویت پیشنهادی	۰,۲۳	۰,۱۸	۰,۵۹	۰,۲۵	۰,۲۵

ج) ساختمان ۸ طبقه‌ی ویژه.

وزن (Kg)	سازه	طبس	کوبه	منجیل	نرثربیج	الستترو
۱۴۶۲۵	اولیه	۰,۱۶	۰,۴۶	۰,۵۱	۰,۲۵	۰,۱۷
۱۴۷۰۳	ستون تقویت شده	۰,۱۸	۰,۲۵	۰,۵۱	۰,۱۶	۰,۲۵
۱۴۶۴۳	تقویت پیشنهادی	۰,۱۶	۰,۲۸	۰,۵۱	۰,۱۷	۰,۲۵

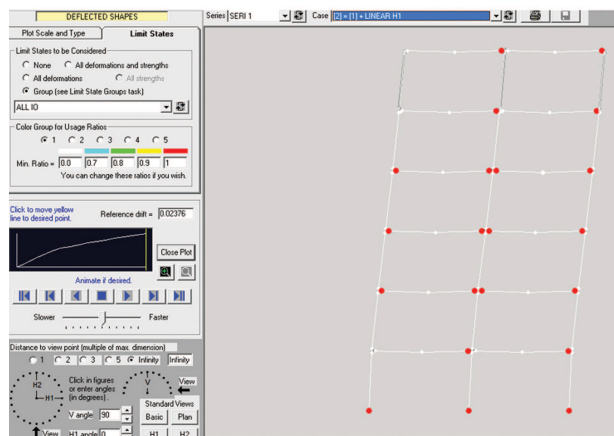
د) ساختمان ۹ طبقه‌ی ویژه.

وزن (Kg)	سازه	طبس	کوبه	منجیل	نرثربیج	الستترو
۱۶۴۷۶	اولیه	۰,۱۸	۰,۳۶	۰,۵۱	۰,۲۵	۰,۱۷
۱۶۶۲۱	ستون تقویت شده	۰,۱۶	۰,۱۸	۰,۴۷	۰,۲۵	۰,۰۸
۱۶۵۱۲	تقویت پیشنهادی	۰,۱۷	۰,۲۳	۰,۳۶	۰,۵۵	۰,۲۵

طبق جدول ۱۳ د در تحلیل تاریخچه‌ی زمانی غیرخطی ساختمان ۹ طبقه، سازه با تقویت پیشنهادی از سازه‌ی اصلی عملکرد بهتر داشته است، ولی سازه با تقویت معمول حتی از سازه‌ی بدون تقویت در رکوردها ضعیف‌تر عمل کرده است. لذا سازه با تقویت پیشنهادی با توجه به داشتن وزن کمتر، عملکرد بهتری نسبت به سازه با تقویت معمول داشته است.

۶. بیشینه‌ی جابجایی و برش پایه در سازه‌ها

بیشینه‌ی جابجایی سقف و برش پایه (که به ترتیب با D و V نشان داده شده‌اند) حاصل از تحلیل تاریخچه‌ی زمانی غیرخطی تحت زلزله‌ی یکسان در سازه‌ی اولیه، کنترل شده و پیشنهادی در قاب ۶، ۷، ۸ و ۹ طبقه به ترتیب در جدول‌های ۱۴ و ۱۵ داشته است.



شکل ۸. تغییرشکل سازه‌ی ۶ طبقه در PERFORM.

تحلیل‌های غیرخطی این سازه‌ها در نرم‌افزار PERFORM انجام می‌شود. به عنوان نمونه، مدل سازی سازه‌ی ۶ طبقه و تغییرشکل تحت بار استاتیکی غیرخطی در نرم‌افزار PERFORM در شکل ۸ آمده است.

۱.۶. نتایج تحلیل تاریخچه‌ی زمانی غیرخطی سازه‌ها

نتایج تحلیل تاریخچه‌ی زمانی غیرخطی سازه‌ی ۱، ۲ و ۳ از ساختمان ۶، ۷، ۸ و ۹ طبقه و همچنین وزن هر یک از آنها بر حسب کیلوگرم به ترتیب در جدول‌های ۱۳ الف، تا ۱۳ د آمده است.

طبق جدول ۱۳ الف در تحلیل تاریخچه‌ی زمانی غیرخطی ساختمان ۶ طبقه، سازه با تقویت پیشنهادی (سازه‌ی ۳) نسبت به سازه‌ی اصلی (سازه‌ی ۱) در هیچ رکورده‌ی ضعیف‌تر عمل نکرده است، ولی سازه با تقویت معمول و رایج در دفاتر مهندسی (سازه‌ی ۲) در رکورد منجیل ضعیف‌تر از سازه‌ی اصلی عمل کرده است. فقط در رکورد نرثربیج، سازه با تقویت معمولی از سازه با تقویت پیشنهادی شتاب بیشتری را تحمل کرده است، که البته در این حالت نیز سازه‌ی پیشنهادی مانند سازه‌ی اولیه عمل کرده است. لذا سازه با تقویت پیشنهادی با وجود داشتن وزن کمتر، عملکرد بهتری نسبت به سازه با تقویت معمول داشته است.

طبق جدول ۱۳ ب در تحلیل تاریخچه‌ی زمانی غیرخطی ساختمان ۷ طبقه، سازه‌های تقویت شده از هر دو روش در این تحلیل عملکرد بهتری نسبت به سازه‌ی بدون تقویت داشته‌اند و در تمامی رکوردها، سازه‌ی ۳ از سازه‌ی ۲ بهتر عمل کرده است و شتاب بزرگ‌تری از رکوردها را تحمل کرده است. بنابراین در این حالت نیز سازه با تقویت پیشنهادی با وجود داشتن وزن کمتر، عملکرد بهتری نسبت به سازه با تقویت معمول داشته است.

طبق جدول ۱۳ ج در تحلیل تاریخچه‌ی زمانی غیرخطی ساختمان ۸ طبقه، رکوردهای نرثربیج سازه‌های تقویت شده از هر دو روش، از سازه‌ی اصلی شتاب کمتری را تحمل کرده‌اند؛ البته بین این شتاب‌ها، سازه با تقویت پیشنهادی، شتاب بیشتری را نسبت به سازه با تقویت معمول تحمل کرده است. سازه با تقویت پیشنهادی در رکوردهای دیگر (غیر از رکورد نرثربیج) ضعیف‌تر از سازه بدون تقویت عمل نکرده است، حال آنکه سازه با تقویت معمول علاوه بر رکورد نرثربیج در رکورد کوبه نیز از سازه‌ی بدون تقویت ضعیف‌تر عمل کرده است. لذا سازه با تقویت پیشنهادی با وجود داشتن وزن کمتر، عملکرد بهتری از سازه با تقویت معمول داشته است.

جدول ۱۴. پیشنهادی جابجایی و برش پایه‌ی حاصل از تحلیل تاریخچه‌ی زمانی غیرخطی در سازه‌ی اولیه، کنترل شده و پیشنهادی.

(الف) ساختمان ۶ طبقه‌ی وزنه.

سازه‌ی پیشنهادی		سازه‌ی کنترل شده		سازه‌ی اولیه		رکورد
V	D	V	D	V	D	
(KN)	(Cm)	(KN)	(Cm)	(KN)	(Cm)	
۱۵۹/۴	۱,۴۶	۱۳۶/۱	۰,۹	۱۶۰/۷	۱,۶۶	طبس (PGA=°, ۲۵ g)
۱۴۷/۵	۱,۶۶	۱۶۳/۴	۱,۲۸	۱۳۷/۵	۱,۴۸	کوبه (PGA=°, ۲۵ g)
۲۲۷/۹	۲,۶۴	۲۶۳/۳	۱,۷۷	۱۶۵/۱	۲,۰۰	منجیل (PGA=°, ۴۳ g)
۱۹۶/۲	۱,۵۸	۱۸۷/۷	۱,۱۱	۲۱۰/۳	۱,۷۹	ترشیح (PGA=°, ۳۶ g)
۱۳۴/۶	۱,۲۵	۱۳۴/۵	۰,۹۸	۱۶۰/۴	۱,۵۸	السترو (PGA=°, ۱۶ g)

(ب) ساختمان ۷ طبقه‌ی وزنه.

سازه‌ی پیشنهادی		سازه‌ی کنترل شده		سازه‌ی اولیه		رکورد
V	D	V	D	V	D	
(KN)	(Cm)	(KN)	(Cm)	(KN)	(Cm)	
۱۶۷/۱	۱,۳۷	۱۸۲/۹	۱,۰۵	۱۷۳/۶	۱,۴۱	طبس (PGA=°, ۱۷ g)
۲۴۳/۹	۱,۹۷	۲۲۴/۲	۱,۵۲	۲۲۸/۷	۲,۰۲	کوبه (PGA=°, ۲۵ g)
۲۴۶/۳	۱,۸۲	۲۳۵/۸	۱,۴۳	۲۳۶/۲	۱,۶۷	منجیل (PGA=°, ۵۱ g)
۱۳۶/۲	۱,۰۹	۱۴۴/۳	۰,۷۸	۱۲۸/۴	۱,۰۳	ترشیح (PGA=°, ۱۸ g)
۱۷۰/۹	۱,۴۶	۱۷۹/۰	۱,۱۹	۲۰۵/۱	۱,۷۵	السترو (PGA=°, ۱۸ g)

(ج) ساختمان ۸ طبقه‌ی وزنه.

سازه‌ی پیشنهادی		سازه‌ی کنترل شده		سازه‌ی اولیه		رکورد
V	D	V	D	V	D	
(KN)	(Cm)	(KN)	(Cm)	(KN)	(Cm)	
۲۱۴/۶	۱,۶۰	۱۸۹/۸	۱,۰۸	۲۰۸/۰	۱,۴۹	طبس (PGA=°, ۱۷ g)
۱۷۴/۵	۱,۳۹	۱۹۳/۱	۱,۰۹	۱۶۲/۰	۱,۳۹	کوبه (PGA=°, ۱۶ g)
۲۳۴/۱	۱,۴۵	۲۷۲/۱	۱,۲۸	۱۹۹/۰	۱,۴۵	منجیل (PGA=°, ۵۱ g)
۱۳۰/۴	۰,۸۴	۱۵۶/۰	۰,۶۱	۱۰۲/۵	۰,۶۳	ترشیح (PGA=°, ۱۸ g)
۲۱۳/۰	۱,۸۹	۲۲۱/۲	۱,۱۴	۲۲۹/۳	۲,۴۱	السترو (PGA=°, ۱۶ g)

(ج) ساختمان ۹ طبقه‌ی وزنه.

سازه‌ی پیشنهادی		سازه‌ی کنترل شده		سازه‌ی اولیه		رکورد
V	D	V	D	V	D	
(KN)	(Cm)	(KN)	(Cm)	(KN)	(Cm)	
۱۲۶/۵	۰,۸۶	۱۵۸/۹	۰,۸۴	۹۶/۳	۰,۷۵	طبس (PGA=°, ۰۸ g)
۱۹۱/۳	۱,۴۶	۱۹۱/۷	۱,۰۸	۱۹۴/۳	۱,۵۰	کوبه (PGA=°, ۲۵ g)
۲۱۵/۹	۱,۳۱	۱۹۹/۴	۱,۰۱	۱۷۳/۶	۱,۱۷	منجیل (PGA=°, ۴۷ g)
۱۰۹/۳	۰,۶۸	۱۱۳/۹	۰,۴۷	۱۱۳/۹	۰,۶۰	ترشیح (PGA=°, ۱۸ g)
۲۵۶/۵	۱,۹۵	۲۴۲/۴	۱,۶۷	۲۰۵/۴	۱,۴۴	السترو (PGA=°, ۱۶ g)

- موضوع دیگری که در این پژوهش بررسی شد، چگونگی اعمال تقویت‌های لازم برای برآوردن ضوابط کنترل تغییرمکان استاندارد ۲۸۰۰ است. برای این منظور سازه‌های ۶، ۷، ۸ و ۹ طبقه دارای قاب خمشی ویژه فولادی در نظر گرفته شدند.

برای این منظور، این ۳ سازه با یکدیگر مقایسه شدند:

۱. سازه‌ی که فقط براساس نیروهای اعمال شده و بدون درنظرگیری ضوابط کنترل تغییرمکان طراحی شده است.
۲. سازه‌ی که ضوابط کنترل تغییرمکان در آن فقط با تقویت ستون‌های طبقات پایینی صورت گرفته است.
۳. سازه‌ی که در آن ضوابط کنترل تغییرمکان به روش پیشنهادی این پژوهش انجام شده است.

مقایسه‌ی نتایج تحلیل غیرخطی تاریخچه‌ی زمانی سازه‌هایی که در آنها ضوابط کنترل تغییرمکان ارضاء شده است، نشان می‌دهد که در ساختمان‌های ۶، ۷، ۸ و ۹ طبقه‌ی لاغر دارای قاب خمشی فولادی ویژه، سازه‌ی که به روش پیشنهادی این پژوهش تقویت شده است، نسبت به سازه‌ی که به روش معمول برخی دفاتر مهندسی تقویت شده است (سازه‌ی ۲ مذکور در بالا)، عملکرد لرزه‌یی بهتری دارد؛ به علاوه اینکه به خاطر داشتن وزن کمتر، اقتصادی‌تر نیز است.

آمده است. طبق این جداول، جابجایی سقف سازه‌ی تقویت ستون شده (سازه‌ی ۲) از سازه‌ی پیشنهادی (سازه‌ی ۳) کمتر است.

۷. نتیجه‌گیری

سازه‌های مورد بررسی در این پژوهش، سازه‌های ۵، ۶، ۷، ۸ و ۹ طبقه هستند، که در تمامی موارد، این سازه‌ها ابتدا در نرم‌افزار ETABS تحلیل و طراحی استاتیکی و سپس در نرم‌افزار PERFORM با درنظرگیری امکان رفتار غیرخطی مدل شدند و تحلیل تاریخچه‌ی زمانی غیرخطی با ۵ رکورد لرزه‌یی انجام شده است. در این پژوهش دو موضوع مورد بررسی قرار گرفته است:

- در ابتدا چگونگی لحاظشدن زمان تناوب در مراحل کنترل تغییرمکان بررسی و نشان داده شد که در یک ساختمان ۵ طبقه، استفاده از زمان تناوب به دست آمده از مدل رایانه‌یی (بر اساس تبصره‌ی ۴-۵-۲ استاندارد ۲۸۰۰) نسبت به زمان تناوب حاصل از فرمول‌های تجربی موجود در استاندارد ۲۸۰۰، به سازه‌یی با رفتار لرزه‌یی بهتر منجر می‌شود.

پانوشت‌ها

۱. در رعایت این محدودیت آثار ناشی از $\Delta - P$ باید در محاسبه‌ی تغییرمکان‌ها منظور شده باشد.

2. Drift
3. push-over
4. incremental dynamic analysis

منابع (References)

1. *Iranian Code of Practice for Seismic Resistant Design of Buildings, Standard 2800-05*, Building and Housing Research Center (2006).
2. Mirkazemi, S. "Sensitivity analysis of stiffness, strength and drift controlling criteria on seismic behavior of steel moment frames", Sadra Institute of Higher Education, MSC Thesis in Civil Engineering (2011).
3. Chopra, A.K. *Dynamics of Structures*, University of California at Berkeley, Second Edition, New Delhi (2002).
4. Rezaian, A. "Welding standards and design of steel structures in seismic prone areas", *International Congress of connection methods*, Tehran (2009).
5. Zarringhalam, Y. "Nonlinear analysis and performance evaluation of three-dimensional structures", Cultural Institute of Dibagaran, Tehran (2009).
6. Bajji, H. and Hashemi, J., *Practical Projects in Analysis and Design of Structures*, Motefakeran Publications, Fifth Edition (2007).
7. FEMA-356, *Pre-Standard and Commentary for the Seismic Rehabilitation of Buildings*, Federal Emergency Management Agency (2000).
8. PERFORM-3D Nonlinear Analysis and Performance Assessment for 3D Structures, User guide, Version 4 (August 2006).
9. *Instruction for Seismic Rehabilitation of Existing Buildings*, Management and Planning Organization, 360 (2006).
10. Davies, J.M. "Strain hardening, local buckling and lateral-torsional buckling in plastic hinges", *Journal of Constructional Steel Research*, 62(1-2), pp. 27-34 (2006).